

## TiO<sub>2</sub> 나노파이퍼를 첨가한 염료감응형 태양전지의 전기화학적 특성

En Mei Jin, 박경희, 구활본

전남대학교

### Electrochemical Characteristics of added TiO<sub>2</sub> Nanofiber for Dye-Sensitized Solar Cells

En Mei Jin, Kyung-Hee Park, Hal-Bon Gu

Chonnam Univ.

**Abstract :** The TiO<sub>2</sub> nanofiber doped TiO<sub>2</sub> electrode area applied to dye-sensitized solar cells(DSSCs). The mixtures of TiO<sub>2</sub> nanofiber to TiO<sub>2</sub> photoelectrode has larger surface area than TiO<sub>2</sub> photoelectrode. In this research added 2.5, 5 and 10wt% TiO<sub>2</sub> nanofibers and the optimum condition of 5 wt% TiO<sub>2</sub> nanofiber's high surface area contributing the improvement of short-circuit photocurrent. The open-circuit voltage was 0.7V and solar energy conversion efficiency was 5.4%.

**Key Words :** TiO<sub>2</sub>, TiO<sub>2</sub> nanofiber, Dye-sensitized solar cells, Energy conversion efficiency.

### 1. 서 론

신재생에너지의 유망주인 태양전지는 놀라운 속도로 발전되고 있다. 그중에서도 염료감응형 태양전지는 낮은 제조단가, 높은 에너지 변환효율, 반투명성으로 인해 다양한 응용이 가능하다는 점에서 많은 연구자들의 주목을 받고 있다[1,2].

염료감응형 태양전지는 주로 염료, 전해질과 백금을 도포한 상대전극으로 구성되어 있고 TiO<sub>2</sub> 나노 다공성 반도체막이 가장 높은 효율을 나타내고 있다. 염료감응형 태양전지의 구성요소 중, 에너지 변환 효율을 증가시키는데 가장 큰 영향을 미치는 것은 광전극 부분으로 빛의 높은 이용률, TiO<sub>2</sub> 물질의 합성과 개질 및 ZrO<sub>2</sub>, CaCO<sub>3</sub>, Al과 같은 첨가제를 이용한 연구를 통해 에너지 변환효율을 증가시키고자 하는 연구들이 진행되고 있다. TiO<sub>2</sub> 페이스트에 소량의 첨가제를 적용함으로써 효율 향상시키고자 하는 연구는 제조 방법이 간단하고 에너지 밴드갭의 변화에 따른 개방전압의 향상이나 전류밀도의 향상을 기대해 볼 수 있다는 점에서 장점을 가지고 있다[3,4].

따라서 본 연구에서는 에너지 변환효율을 향상시키기 위해 TiO<sub>2</sub> nanofiber을 첨가제로 사용하여 광전극의 비표면적을 증대함으로써 염료의 흡착특성을 향상된 TiO<sub>2</sub> 광전극을 제작하고 TiO<sub>2</sub> nanofiber가 첨가된 광전극을 이용한 염료감응형 태양전지의 효율에 미치는 영향을 조사하였다.

### 2. 실 험

우선 입자간의 응집특성을 줄이고 분산특성을 향상시키기 위하여 P-25, 질산, 종류수를 출발물질로, 질산과 종류수를 1:120의 부피 비로 혼합하여 산성용액을 제조한

다음 12g의 P-25 분말에 첨가하여 80도에서 8시간 동안 혼합하였다. 이렇게 얇은 TiO<sub>2</sub> 콜로이드 용액을 건조하여 분산특성을 향상하기 위한 TiO<sub>2</sub> 질산 전처리과정을 마쳤다. 질산 전처리 하여 얇은 TiO<sub>2</sub> 분말을 산성용액에 용해시키고 아세틸아세톤과 Triton X-100과 같은 계면활성제, 바인더로는 PEG(Poly ethylene Glycol 20,000, Wako)을 사용하여 염료감응형 태양전지용 TiO<sub>2</sub> paste를 제조하였다. TiO<sub>2</sub> 반도체막의 흡착특성이나 빛의 산란특성을 향상하고자 제조된 paste에 TiO<sub>2</sub> paste 중량당 TiO<sub>2</sub> nanofiber를 2.5wt%, 5wt% 그리고 10wt%를 첨가하여 squeeze-planting 방법으로, 세척된 FTO(8Ω cm<sup>-2</sup>) 전도성 유리기판에 5×5mm의 크기로 코팅하여 450도에서 30분 열처리하였다. 이렇게 얇은 TiO<sub>2</sub> 박막은 FE-SEM을 통해 표면상태를 알아보았다. 제조된 TiO<sub>2</sub> 박막은 solaronix SA의 N719(cis-bis(isothiocyanato)bis(2,2'-bipyridyl-4,4'-dicarboxylato)-uthenium(II)를 에탄올에 0.5mM로 제조된 염료에 24시간 침지시켰다. 상대전극은 FTO 전도성 기판 위에 Pt catalyst sol을 squeeze-planting 방법으로 코팅하여 450도에서 30분 동안 열처리하여 제조하였다. 염료 흡착된 TiO<sub>2</sub> 박막과 백금 상대전극을 샌드위치 방식으로 hot melt를 사용하여 조립한 후 전해질(I<sup>-</sup>/I<sub>3</sub><sup>-</sup>)을 주입하여 염료감응형 태양전지 셀을 제작하였다.

제작된 염료감응형 태양전지 셀의 에너지 변환효율 특성을 알아보기 위하여 1000 W Xe Arc Lamp와 Air Mass 1.5, filter가 장착된 Thermo-Preal (USA) Solar simulator system을 사용하여 개방전압 (Voc), 광전류 (Isc), fill factor (FF), 에너지변환 효율 (*n*)을 조사하였다.

### 3. 결과 및 검토

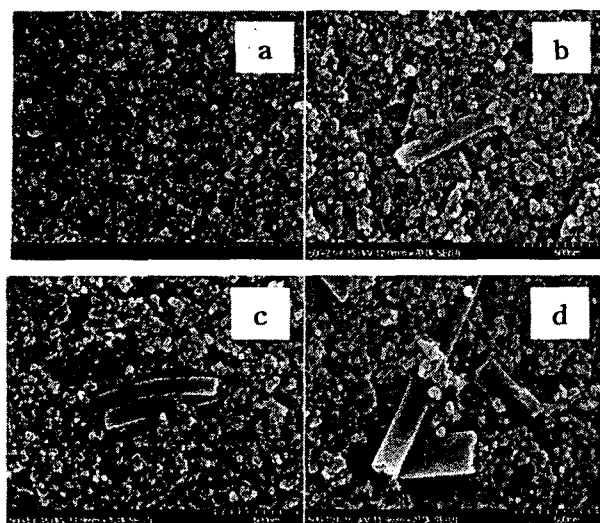


그림 1. 제조된  $\text{TiO}_2$  film의 FE-SEM.

그림 1은  $\text{TiO}_2$  페이스트에  $\text{TiO}_2$  nanofiber를 각 중량별로 첨가한 FE-SEM 이미지이다. 표면 현상 분석 결과  $\text{TiO}_2$  nanofiber를 첨가하지 않은 경우  $\text{TiO}_2$ 의 입자의 크기는 약 30nm이고,  $\text{TiO}_2$  nanofiber를 첨가한 FE-SEM을 보면 의  $\text{TiO}_2$  nanofiber가 표면에 도출이 되면서 염료의 흡착특성을 향상시켰으며, 첨가함량에 따라  $\text{TiO}_2$  nanofiber의 분산이 용이하지 않아 에너지 변환효율에 영향을 미칠 것으로 예측할 수 있다.

그림 2는 염료감응형 태양전지의 전류-전압곡선을 측정한 결과이다. 이 결과로부터  $\text{ZrO}_2$ 를 첨가함으로써 전류밀도가 첨가량에 관계없이 증가되었고,  $\text{ZrO}_2$ 를 5wt%를 첨가하였을 경우 개방전압이 0.7V, 전류밀도가 16.1%를 나타내었으며, 에너지변환효율이 5.4%를 나타내었다. 이것은  $\text{ZrO}_2$  nanofiber를 첨가함으로 하여 표면적이 증가함으로 하여 염료의 흡착양이 증가하여 전류밀도가 향상된 것으로 판단된다.

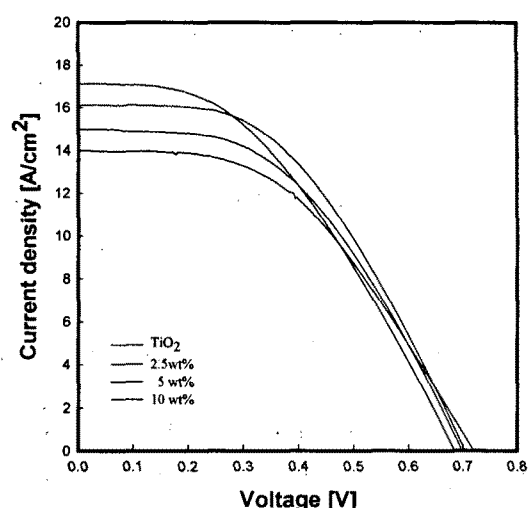


그림 2. 도편트 첨가량에 따른 시편의 XRD.

### 감사의 글

본 연구는 한국전기전자재료학회의 연구비 지원에 의한 것입니다.

### 참고 문헌

- [1] Md. K. Nazeeruddin, M. Amirnasr, P. Comte, J. R. Mackay, A. J. McQuillan, R. Houriet, M. Grätzel, Langmuir Vol. 16, p.8525, 2000.
- [2] K. Kim, G. S. Kim, J. S. H., T. Kang, D. Kim, Solar Energy Vol. 64, p.61, 1998.
- [3] H. Yu, S. Zhang, H. Zhao, G. Will, P. Liu, Electrochimica Acta 54, p. 1319, 2009.
- [4] B. Lee, J. Kim, Current Applied Physics 9, p. 404, 2009.